

# 玻 璃 译 丛

第 三 輯

上海市硅酸盐学会編

上海市科学技术編译館

玻 璃 · 译 丛

第三輯

上海市硅酸盐学会編

\*

上海市科学技术編譯館出版

(上海南昌路59号)

新华书店上海发行所发行 各地新华书店經售

商务印书館上海厂印刷

\*

开本 787×1092 1/16 印張 3 1/2 字數 100,000

1964年7月第1版 1964年7月第1次印刷

印數 1—4,000

編 号 : 66 · 219

定 价 : 0.55 元

C·1511

## 目 录

3d 軌道部分填充的离子在玻璃中所引起的光吸收(續) .....	1
水对玻璃的侵蝕反应.....	6
研究熔融玻璃均匀度的方法 .....	18
用离子交換法提高玻璃的机械强度和热稳定性 .....	21
瓶罐玻璃制造中用硒脫色的實驗 .....	24
制取彩色花紋玻璃的新方法 .....	29
延长模具和模具設備的使用寿命 .....	31
玻璃与金属封接的新工艺 .....	36
玻璃分析的进展 .....	39
玻璃化学分析的新方法 .....	44
鋼板搪瓷“魚鱗”傾向的測定 .....	47
文摘 .....	49

# 3d 軌道部分填充的离子在玻璃中所引起的光吸收(續)

## 第 III 部分：配位状态与結構

S. Kumar

含有过渡金属离子的玻璃的颜色是由于这些离子在光谱的可见区或可见区附近具有特征吸收带而引起的。吸收带是电子在不同能级间跃迁所造成的。能级是由自由离子的基本态在周围氧离子的电场作用下分裂而成的。研究证明，假若这些能级是由自由离子的基本态被离子周围按八面体堆积的六个氧离子分裂而成的，在大多数情况下，就可以标定同这些吸收带相对应的能级。

本文将从结构的角度讨论所得到的结果，并将详细讨论着色离子在玻璃中的配位状态。

### 配位状态

#### (1) 磁性

测量各种金属离子在玻璃中的顺磁化率的目的在于研究离子的价态。S. S. 布哈提拉格等人的实

验结果表明，在  $Mn^{3+}$ 、 $Mn^{2+}$ 、 $Fe^{2+}$ 、 $Co^{2+}$ 、 $Ni^{2+}$  及  $Cu^{2+}$  等离子中，未平衡的电子数分别等于 4、5、4、3、2、1，因而，这些离子的自旋多重性在玻璃结构中是最大的，没有象在某些无机络合物中观察到的那种电子成对现象。

除了决定离子价数之外，从磁性测试还可以得到某些知识。已经证明：假若离子的基本态是由三重轨道简并的  $\Gamma_4$  或  $\Gamma_5$  态，则除自旋动量外，轨道动量对于离子的总磁矩亦有重要的贡献；假若基本态为单一的  $\Gamma_1$  或  $\Gamma_2$  或相当于单一态的无磁性双重态  $\Gamma_3$ ，则轨道动量的贡献要小些。在这种情况下，离子的磁矩接近于未平衡电子的自旋矩（参阅本文第 II 部分表 I 中  $Co^{2+}$ 、 $Ni^{2+}$  及  $Cu^{2+}$  离子的能级，刊于本译丛第二辑）。可以看出，这些离子的基本态在八面体配位情况下分别为  $\Gamma_4$ （三重态）、 $\Gamma_2$ （单一态）及  $\Gamma_3$ （无磁性双重态）。在四配位情况下，基态将颠倒过来，

表 1  $Co^{2+}$ 、 $Ni^{2+}$  及  $Cu^{2+}$  离子在玻璃中的磁矩及配位状态

离 子	基 态		理論磁矩* (以玻尔磁子为单位)		觀察到的磁矩 (以玻尔磁子为单位)	玻 璃 组 成	来 源	結 論
	八面体配位	四面体配位	无轨道贡献	有轨道贡献				
$Co^{2+}$	三重 $\Gamma_4$	单一 $\Gamma_2$	3.9	5.2	4.6 (藍)	$Na_2OMgO_4SiO_2$ $Na_2O > 20\%$ { $Na_2O$ $Na_2O < 20\%$ { $B_2O_3$	P. W. Selwood K. Breit 及 R. Juza	在藍玻璃中为四配位，在粉紅玻璃中为六配位
					4.6 (藍)			
					4.8 (粉紅)			
$Ni^{2+}$	单一 $\Gamma_2$	三重 $\Gamma_4$	2.8	3.4	3.3 (綠色)	$Na_2O_9B_2O_5$ $Na_2OMgO_4SiO_2$ 碱硅酸盐及硼酸盐玻璃	K. Breit 及 R. Juza P. W. Selwood H. Moore 及 H. Winkelman	在棕色玻璃中为四配位，在綠色玻璃中为六配位
					3.6 (棕色)			
$Cu^{2+}$	双重 $\Gamma_3$ (相当于单一态的无磁性态)	三重 $\Gamma_5$	1.7	3.0	在棕色玻璃中的磁矩比在綠色中的大	$Na_2O_5B_2O_3$ $K_2O_3SiO_2$ $Na_2O_3SiO_2$	P. W. Selwood P. W. Selwood P. W. Selwood	六配位

\* 具有简并  $\Gamma_4$  或  $\Gamma_5$  基态的离子，由于轨道贡献较大，容易失去较高的磁矩。

分別為  $\Gamma_2$ (單一態),  $\Gamma_4$ (三重態)及  $\Gamma_5$ (三重態)。因而, 在八面體配位的情況下,  $\text{Ni}^{2+}$  及  $\text{Cu}^{2+}$  离子的磁矩主要是由未平衡電子的自旋所引起的。由於簡并的基態軌道部分的貢獻,  $\text{Co}^{2+}$  离子的磁矩較大; 在四配位情況下,  $\text{Co}^{2+}$  的磁矩較小, 而  $\text{Ni}^{2+}$  及  $\text{Cu}^{2+}$  离子的磁矩則較大, 這是由於軌道貢獻較大的緣故。必須指出, 軌道對於磁矩的貢獻並不完全是由於基態的簡并所引起的。某些其他的因素也可以說明軌道貢獻。儘管磁性結果有這些限制, 假若基態是簡并的, 則有理由預期軌道的貢獻是相當大的。事實上, 無機絡合物的實驗結果証實了這種設想。

表 1 是含有順磁離子的玻璃的磁性測量結果。可以看出,  $\text{Cu}^{2+}$  离子在硼酸鹽及硅酸鹽玻璃中的磁矩相當於一個未平衡電子。這是當基態為無磁的雙重態(即配位為八面體型)時所預期的結果。

$\text{Co}^{2+}$  离子的磁矩在藍色硅酸鹽玻璃中大於理論自旋矩, 但在粉紅色硼酸鹽玻璃中(4.8 波爾磁子)却比在藍色玻璃中更大。雖然增加的數值並不顯著, 但與實驗誤差相比, 還是不可忽視的。這表明: 在粉紅色玻璃中, 軌道的貢獻較大。因而, 在藍色硅酸鹽玻璃中,  $\text{Co}^{2+}$  离子的基態是單一的, 為四面體配位(表 1); 在粉紅色玻璃中, 軌道貢獻較大, 基態可能是三重簡并的, 因而其配位狀態可能是八面體的。在  $1\text{Na}_2\text{O}6\text{B}_2\text{O}_3$  玻璃中混入少量  $\text{NaCl}$ ,  $\text{Co}^{2+}$  离子所引起的粉紅色便會變成藍色。在顏色由粉紅色變到藍色的同時, 由於在玻璃中形成了  $(\text{CoCl}_4)^{2-}$  絡合物, 順磁化率有所下降。

在硅酸鹽玻璃中,  $\text{Ni}^{2+}$  离子的軌道貢獻很大, 其基態是三重態。 $\text{Ni}^{2+}$  的磁矩, 在綠色硼酸鹽玻璃

中為 3.3 波爾磁子, 而在棕色硅酸鹽玻璃中則為 3.6 波爾磁子。 $\text{Ni}^{2+}$  的軌道貢獻在綠色玻璃中要比在棕色硅酸鹽玻璃中小得多。在綠色玻璃中, 基態可能是單一的, 其配位狀態為八面體。

## (2) 穩定能

假如某一個自由離子的光譜基態為周圍的電場所分裂, 則着色離子的新基態的能級將比自由離子原來的基態低(如第 II 部分圖 2 所示)。在玻璃中的  $\text{O}^{2-}$  离子的電場作用下, 离子基態的下降程度( $a\Delta$ )是離子在玻璃中的穩定能的一個度量。離子在  $\text{O}^{2-}$  离子電場中的穩定能決定於電場的對稱性。表 2 是離子在八面體、四面體及平方平面等三種不同類型的電場中的  $a\Delta$  值。

S 态不為周圍離子所分裂, 因而 S 态的  $\text{Mn}^{2+}$  和  $\text{Fe}^{3+}$  离子在各種不同類型的電場中的穩定能可以忽略。這些離子對於任何特殊對稱類型的電場無所選擇。它們的配位狀態可能決定於一般適用於惰性氣體型離子的鮑里配位規則。八面體絡合物的穩定能一般比四面體絡合物高, 因此, 這些離子在玻璃中將優先採取八面體配位狀態, 除非有其他結構的限制。

在高硼酸鹽玻璃中,  $\text{Co}^{2+}$  及  $\text{Ni}^{2+}$  离子的能級可能在八面體對稱的基礎上同觀察到的吸收帶有關。然而, 在硅酸鹽玻璃中, 吸收帶的數目却非常不同。從表 2 可以看出,  $\text{Co}^{2+}(d^7)$  在四面體及八面體場中的穩定能的相對差別很小。在這個基礎上就可以解釋, 為什麼在鈉硼酸鹽玻璃中加入少量  $\text{NaCl}$  就會使  $\text{Co}^{2+}$  比較容易地進入四配位而成為  $(\text{CoCl}_4)^{2-}$ 。

表 2 在立方及非立方對稱晶體場中離子的晶體場穩定能( $a\Delta$ )( $1000 \text{ 厘米}^{-1} = 2.86 \text{ 千卡}$ )

離子	參數 ' $a$ '			玻璃中八面體配位狀態 下計算的穩定能*(厘米 $^{-1}$ )
	立方八面體	立方四面體	平方平面	
$3d^0$ $\text{Ca}^{2+}, \text{Sc}^{3+}$	0.0	0.0	0.0	0
$3d^1$ $\text{Ti}^{3+}$	0.44	0.267	5.140	7160
$3d^2$ $\text{V}^{3+}$	0.8	0.534	1.028	13120
$3d^3$ $\text{Cr}^{3+}$	1.2	0.356	1.456	18240
$3d^4$ $\text{Mn}^{3+}$	0.6	0.178	1.228	11760
$3d^5$ $\text{Mn}^{2+}, \text{Fe}^{3+}$	0.0	0.0	0.0	0
$3d^6$ $\text{Fe}^{2+}$	0.4	0.267	5.140	3440
$3d^7$ $\text{Co}^{2+}$	0.8	0.534	1.028	6400
$3d^8$ $\text{Ni}^{2+}$	1.2	0.356	1.456	8040
$3d^9$ $\text{Cu}^{2+}$	0.6	0.178	1.228	7620
$3d^{10}$ $\text{Cu}^+, \text{Zn}^{2+}$	0.0	0.0	0.0	0

\* 根據第 II 部分表 2 中 4 的觀測值。

$\text{Ni}^{2+}$  在四配位状态的稳定能很小，因而镍的四配位络合物很少见。

$\text{Ni}^{2+}$  离子有三种着色形式。除了上面提到的绿色及棕色两种外，还有吸收谱线很复杂的第三种形式，叫作“波动”形的离子。它是一种绿色到棕色的过渡形式，也可能是绿色和棕色的混合物，因为随着玻璃成分的改变，从六配位到四配位的转变并不是突然发生的。在一定成分范围内，两种配位形式完全可能共存。在  $\text{Na}_2\text{O}-\text{B}_2\text{O}_3$  系玻璃中，随着  $\text{Na}_2\text{O}$  含量的增加 ( $\text{Na}_2\text{O}$  约 20%)，由于  $\text{Co}^{2+}$  离子由八面体配位状态转变成四面体， $\text{Co}^{2+}$  离子的顺磁化率便会下降。但是，当  $\text{Na}_2\text{O}$  的含量低时，玻璃颜色即从粉红色变为兰色，这说明某些  $\text{Co}^{2+}$  离子早已成为四配位状态。兰色的吸收强度比粉红色的大得多，因此，即使在兰色  $\text{Co}^{2+}$  离子含量较少的玻璃中，粉红色也是不明显的。这种由一种配位状态到另一种配位状态的逐渐转变，在  $\text{HCl}$  含量不同的  $\text{Co}^{2+}$  的水溶液中也能观察到。

可以得出结论，从稳定能的角度考虑， $\text{Ni}^{2+}$  在硅酸盐玻璃中处于四配位是不可理解的。在  $\text{B}_2\text{O}_3$  含量高的玻璃中， $\text{Ni}^{2+}$  处于六配位。 $\text{Co}^{2+}$  离子在兰色玻璃中可能是处于四配位，这可以从四配位的  $\text{Co}^{2+}$  离子具有比较高的晶体场稳定能、 $\text{Co}^{2+}$  离子在兰色玻璃中及  $(\text{CoCl}_4)^{2-}$  络合物中吸收特性的相似性以及轨道对磁矩贡献较小等看出。六配位的  $\text{Ti}^{3+}$ 、 $\text{V}^{3+}$ 、 $\text{Cr}^{3+}$ 、 $\text{Mn}^{3+}$ 、 $\text{Fe}^{2+}$  及  $\text{Cu}^{2+}$  离子的稳定能比四配位或平方平面配位的要高些。

## 八面体的畸变

大多数着色离子在玻璃中都处于八面体配位状态。处于八面体配位状态的六个  $\text{O}^{2-}$  离子对称地围绕着着色离子而排列。

### (1) 揭-泰勒 (Jahn-Teller) 畸变

从  $\text{Ti}^{3+}$  离子的能级图 (见本文第 II 部分图 2) 可以看出，在八面体晶体场上迭加一个平方平面场， $r_3$  及  $r_5$  态的简并性将消失， $d_{z^2}$  轨道也将下降到低于基态很大程度的地方。 $\text{Cu}^{2+}$  离子的能级刚好与  $\text{Ti}^{3+}$  离子相反，而  $\text{Cu}^{2+}$  离子的基态为  $r_3$  (见本文第 II 部分表 2)，在八面体场上迭加一平方平面场， $\text{Cu}^{2+}$  离子的新的基态便会变成  $d_{z^2}$  轨道。这个轨道比原先的基态低得多，因而新的基态  $d_{z^2}$  具有较大的晶体场稳定能 (表 2)。当处于八面体两端点的配位原子逐渐沿  $z$  轴移开时，即可实现八面体场与平方平面场的迭加 (见第 II 部分图 2)。在  $\text{Cu}^{2+}$  的八面体络合物中，金属离子依靠顶端的两个  $\text{O}^{2-}$  离子尽可能地沿  $z$  轴分开，以获得稳定能，因而有破坏正规八面体结构的趋势。这种消除基态简并性的倾向称为揭-泰勒 (Jahn-Teller) 效应。根据顺磁各向异性及电子磁共振的测量，观察到在有简并基态的  $\text{Cu}^{2+}$  离子的八面体络合物情况下，揭-泰勒畸变特别明显。但这种效应对  $\text{Ti}^{3+}$  及  $\text{V}^{3+}$  离子并不显著。由于正规八面体构形的畸变，基态稳定能的增加将平衡结构畸变所消耗的能量。换句话说，对于某特殊络合物来说，揭-泰勒畸变随配位八面体可变形程度的增加而增加。

揭-泰勒畸变的结果之一是，根据吸收带计算得的晶体场强的实验值，随畸变的增加而增大。

根据表 3、4 及 5， $\text{Mn}^{3+}$  离子的  $A(\text{H}_2\text{O})$  值比  $\text{Ti}^{3+}$ 、 $\text{V}^{3+}$  及  $\text{Cr}^{3+}$  等三价离子大得多，而  $\text{Cu}^{2+}$  离子的  $A(\text{H}_2\text{O})$  值比  $\text{Fe}^{2+}$ 、 $\text{Co}^{2+}$  及  $\text{Ni}^{2+}$  等大得多。基态为双重  $I_3$  态的  $\text{Mn}^{3+}$  及  $\text{Cu}^{2+}$  离子之所以具有较大的  $A(\text{H}_2\text{O})$  值，是由于  $\text{Mn}^{3+}(\text{H}_2\text{O})_6$  及  $\text{Cu}^{2+}$

表 3  $\text{O}^{2-}$  八面体在玻璃及含水晶体中所引起的场能 (4)

玻 璃 成 分 (克分子比)	场 能					
	$\text{Ti}^{3+}$	$\text{V}^{3+}$	$\text{Cr}^{3+}$	$\text{Mn}^{3+}$	$\text{Fe}^{2+}$	$\text{Cu}^{2+}$
1 $\text{Na}_2\text{O}$ 4 $\text{SiO}_2$	—	16400	15200	19600	8600	12700
1 $\text{Na}_2\text{O}$ 2.5 $\text{SiO}_2$	—	16400	15200	19600	8800	—
1 $\text{Na}_2\text{O}$ 1.5 $\text{SiO}_2$	—	16400	15200	20200	8900	12800
1 $\text{K}_2\text{O}$ 4 $\text{SiO}_2$	—	16400	15200	19700	7700	11600
0.5 $\text{Na}_2\text{O}$ 0.5 $\text{Li}_2\text{O}$ 4 $\text{SiO}_2$	—	16400	15200	20500	9100	13300
0.1 $\text{Al}_2\text{O}_3$ 0.1 $\text{B}_2\text{O}_3$ 0.8 $\text{P}_2\text{O}_5$	17300	—	—	—	8000	—
0.1 $\text{Al}_2\text{O}_3$ 0.1 $\text{B}_2\text{O}_3$ 0.7 $\text{P}_2\text{O}_5$	17900	14900	15000	—	8100	9500
含 水 晶 体	20300	18600	17400	21000	10400	12600

表4 在含  $\text{Co}^{2+}$  离子的玻璃和水化晶体中  
 $\text{O}^{2-}$ -八面体的晶体場能 (4)

玻璃組成(克分子比)	場能(厘米 $^{-1}$ )
1 $\text{Na}_2\text{O}$ 6 $\text{B}_2\text{O}_3$	8000
1 $\text{Na}_2\text{O}$ 4 $\text{E}_2\text{O}_3$	8000
1 $\text{K}_2\text{O}$ 6 $\text{B}_2\text{O}_3$	8000
水化晶体	9700

( $\text{H}_2\text{O}$ )<sub>6</sub> 八面体的揚-泰勒畸变的結果。

这个效应在玻璃系統中也能觀察到。 $\text{Mn}^{3+}$  离子在鈉硅酸盐玻璃中的  $A$  值比三价离子  $\text{V}^{3+}$  及  $\text{Cr}^{3+}$  分別高 3800 厘米 $^{-1}$  及 5000 厘米 $^{-1}$ , 而两价  $\text{Cu}^{2+}$  离子的  $A$  值比  $\text{Fe}^{2+}$  离子高 4100 厘米 $^{-1}$ 。

从表 3 及 4 还可以看出, 除  $\text{Mn}^{3+}$  及  $\text{Cu}^{2+}$  离子外, 在鈉硅酸盐玻璃中, 所有离子的  $A$  值总比  $A(\text{H}_2\text{O})$  小 1300 厘米 $^{-1}$ ~3700 厘米 $^{-1}$ 。 $\text{Cu}^{2+}$  离子的  $A(\text{玻璃})$  及  $A(\text{水})$  值差不多一样 ( $\sim 12800$  厘米 $^{-1}$ )。 $\text{Mn}^{3+}$  及  $\text{Cu}^{2+}$  离子的  $A(\text{玻璃})$  值較大这一事实表明, 玻璃中  $\text{O}^{2-}$  八面体的揚-泰勒畸变比含水絡合物中  $\text{H}_2\text{O}$  八面体大得多。由此可得出一个重要結論: 玻璃中  $\text{O}^{2-}$  八面体的可变形程度是比較大的。

表5 在含  $\text{Ni}^{2+}$  离子的玻璃及水化晶体中  
 $\text{O}^{2-}$ -八面体的場能 (4)

玻璃成分(克分子比)	場能(厘米 $^{-1}$ )
1 $\text{Na}_2\text{O}$ 8 $\text{B}_2\text{O}_3$	7100
1 $\text{Na}_2\text{O}$ 5 $\text{B}_2\text{O}_3$	7100
1 $\text{Na}_2\text{O}$ 4 $\text{B}_2\text{O}_3$	6700
1 $\text{K}_2\text{O}$ 8 $\text{E}_2\text{O}_3$	7200
1 $\text{K}_2\text{O}$ 8 $\text{B}_2\text{O}_3$	7100
水化晶体	8500

## (2) 吸收带的形状

电子从低能級跃迁到高能級应产生吸收綫而不該产生象觀察到那种吸收带。由于配位离子因热能而相对于平衡位置振动, 所以当配位离子移向或离开金属离子时, 晶体場能  $A$  便发生变化。当配位离子对称排列时, 由簡諧振动所引起的  $A$  的变化相当于高斯誤差曲綫。在理論上, 吸收曲綫应为一平滑的钟形曲綫。在很多情况下, 吸收带的形状实际上相当于高斯誤差曲綫。

參閱过渡金属离子在玻璃中的吸收曲綫 (第 I

部分图 1~10), 可以看出, 某些吸收带显然发生了畸变。这种畸变可能是两个或两个以上互相接近的吸收带迭加的結果。 $\text{Ti}^{3+}$  及  $\text{Cu}^{2+}$  离子表現出一寬闊的吸收带, 能級的数目为 2。从这些觀察可以得出結論: 这些离子是处于立方場中。虽然这个結論只是一級近似, 但在吸收带中出現精細結構的事实却又表明, 晶体場可能并不完全是八面体对称, 而可能是由于八面体的畸变而造成的立方及非立方組分的混合物。

从这些結果可以得到一个結論: 玻璃中  $\text{O}^{2-}$  离子的电場并非剛好立方对称, 也可能出現某些非立方場的貢獻。

## 吸收带的位置同玻璃的組成

某些着色离子的吸收峰位置随玻璃組成的改变而变化。这对于  $\text{Ti}^{3+}$ 、 $\text{Mn}^{3+}$ 、 $\text{Fe}^{2+}$  及  $\text{Cu}^{2+}$  等 D 态离子特別明显。F 态离子显示同样的变化, 只是比較弱一些, 有时甚至比實驗誤差还小。本文第 II 部分曾經討論过晶体場能  $A$  同吸收带位置的关系 (第 II 部分表 2)。下面将研究晶体場能  $A$  同玻璃成分間的关系。

### (1) $\text{O}^{2-}$ 八面体的能量

八面体配位的晶体場能为:

$$A \approx \frac{5eq}{3} \frac{\bar{r}^4}{R^8}.$$

式中,  $\bar{r}$  为核至  $3d$  电子的平均距离,  $R$  为离子中心至配位体离子中心的距离,  $e$  为电子电荷,  $q$  为每一配位离子的电荷或偶极矩, 包括由于极化而产生的感应偶极子。尽管这个简单的公式是近似的, 它仍可作为一个基础去解釋吸收带的位置同玻璃成分間的关系。根据吸收带計算得的玻璃及水化晶体中各种离子的  $A$  值列于表 3、4 及 5。

当着色离子的电荷由 2 增加到 3, 包含在  $q$  这一项中的感应偶极子便会增大, 因而  $A$  也会增大。三价离子的  $A$  值在 18000 厘米 $^{-1}$  左右, 而两价离子的  $A$  却在 9000 厘米 $^{-1}$  左右。在无机絡合物中, 不同配位离子計算得的  $A$  值表明, 三价离子的場能差不多为两价离子的两倍。

大多数离子的晶体場能  $A(\text{玻璃})$  一般比  $A(\text{水})$  为小。当其他因素相同时, 玻璃中  $\text{O}^{2-}$  离子的有效电荷  $q$  比水偶极子小。水的偶极矩 (包括誘導电荷在內) 約为 5 德拜。

## (2) 极化及有效离子电荷

当  $O^{2-}$  离子为玻璃中着色离子  $M$  以外的其他正离子所极化时,  $O^{2-}$  离子作用在  $M$  上的有效电荷  $q$  将下降, 场能也将减小; 相反的, 若其他阳离子对  $O^{2-}$  离子的极化较弱,  $O^{2-}$  离子的电子就较易与  $M$  离子作用。结果, 有效离子电荷  $q$  也会增大, 因而晶体场能  $\Delta$  随  $O^{2-}$  离子可极化度的增加而增加。当  $SiO_2$  为  $Na_2O$  所置换时,  $O^{2-}$  离子的极化就较弱, 也就是说, 可极化度增加了(根据克分子折射度测量的数据也证明了这一点)。结果,  $\Delta$  值便向短波移动。(这个论点与本文第 I 部分的说法有矛盾。——译者注)

在铝硼磷酸盐玻璃中, 根据克分子折射度的测量,  $O^{2-}$  离子为  $P^{5+}$  及  $B^{3+}$  所强烈极化, 结果磷酸盐玻璃的  $q$  值要比硅酸盐玻璃小得多, 因而  $\Delta$  值也比硅酸盐玻璃小得多(表 2)。

## (3) 碱及碱土金属离子的效应

对称场的基本稳定能  $a\Delta$ (表 2)随  $\Delta$  值的增加而增加(例如,  $\Delta(NH_3)$  比  $\Delta(H_2O)$  大)。在过渡金属离子的水溶液中,  $H_2O$  配位体很容易为  $NH_3$  配位体所替代, 形成络合物。

在碱硅酸盐玻璃中, 与碱金属离子结合的  $O^{2-}$  离子极化较弱, 优先被着色离子所吸引, 因而使有效离子电荷  $q$  及稳定能增加。与两价金属离子(如  $Mg^{2+}$ ,  $Ca^{2+}$ )相结合的  $O^{2-}$  离子, 极化较强。只要玻璃中有碱金属离子存在, 它就不为着色离子所吸引。结果, 在有碱金属离子存在时, 碱土金属氧化物对颜色并没有影响。若没有碱金属离子, 则与碱土金属离子相结合的  $O^{2-}$  离子极化最少, 易为着色离子所吸引。在  $RO \cdot B_2O_3 \cdot Al_2O_3$  型无碱玻璃中, 碱土金属离子  $R^{2+}$  对吸收带的位置有相当影响, 因而, 碱金属在玻璃结构中的分布不可能是杂乱无章的, 相反, 它们可能优先集中在着色中心的周围, 使着色离子有较大的稳定能。将少量  $NaCl$  加入钠硼酸盐玻璃中, 由于同样的原因, 钾离子将优先取代  $O^{2-}$  离子。

碱金属离子与围绕其周围并屏蔽其电场的  $O^{2-}$  离子形成差不多纯粹的共价键。可能集中在着色中心四周的碱金属离子的正电场不会完全被  $O^{2-}$  离子所屏蔽。结果,  $O^{2-}$  离子作用在着色离子上的有效电荷  $q$  便会下降。碱金属离子的半径愈大, 则屏蔽愈不完全, 因而有效电荷愈小。以  $Na^{1+}$  代  $Li^{1+}$ , 或以  $K^{1+}$  代  $Na^{1+}$ , 场能  $\Delta$  将会下降。至于  $D$  态离子  $\Delta$  的变化为什么比  $F$  态离子大得多, 目前还不清楚。

# 总 结

## (1) 吸 收 带

含有  $Ti^{3+}$ 、 $V^{3+}$ 、 $Cr^{3+}$ 、 $Mn^{3+}$ 、 $Mn^{2+}$ 、 $Fe^{3+}$ 、 $Fe^{2+}$ 、 $Co^{2+}$ 、 $Ni^{2+}$ 、 $Cu^{2+}$  等  $3d$  轨道部分填充的离子的玻璃光谱的研究表明, 这些离子在光谱的可见区或可见区附近有吸收带, 这是它们使玻璃着色的原因。 $S$  态离子  $Mn^{2+}$ 、 $Fe^{3+}$  没有轨道动量, 不显示出强烈的吸收带, 这些离子实际上是无色的。 $D$  态离子  $Ti^{3+}$ 、 $Mn^{3+}$ 、 $Fe^{2+}$  及  $Cu^{2+}$  显示出一条宽阔的吸收带。而  $F$  态离子  $V^{3+}$ 、 $Cr^{3+}$ 、 $Co^{2+}$  及  $Ni^{2+}$  则显示出两条以上吸收带。

## (2) 颜 色 的 起 因

$3d$  轨道部分填充离子的光谱基态在玻璃中为周围氧离子的电场分裂而造成不同的能级。吸收带是由于  $3d$  电子从低能级到高能级的跃迁而引起的。吸收带的数目同位置主要决定于离子的光谱基态及周围电场的对称性和强度。

## (3) 能 级 的 标 定

同  $Ti^{3+}$ 、 $V^{3+}$ 、 $Cr^{3+}$ 、 $Mn^{3+}$ 、 $Fe^{2+}$ 、 $Co^{2+}$ 、 $Ni^{2+}$  及  $Cu^{2+}$  等离子在玻璃中的光吸收带相对应的能级已经标出。凡是可能的地方, 吸收带的数目同位置都已能相当精确地从理论上加以估计。 $V^{3+}$  离子表现出两条新的吸收带, 这在其他六配位络合物中还没有报道过。

## (4) $O^{2-}$ 八面体的场能同玻璃成分的关系

根据观察到的吸收带的相当的能级计算了  $O^{2-}$  八面体的场能  $\Delta$ 。 $O^{2-}$  离子在玻璃中的场能  $\Delta$  一般比在含水晶体中的水偶极子小。 $\Delta$  值随  $O^{2-}$  离子极化度增加而增加, 因而使吸收带向短波移动。

## (5) 配 位 状 态

除  $Co^{2+}$  及  $Ni^{2+}$  离子外, 其他着色离子在碱硅酸盐及铝硼磷酸盐玻璃中均处于八面体配位状态。在  $Na_2O$  含量约 20% 或更少的玻璃中,  $Co^{2+}$  及  $Ni^{2+}$  也处于六配位状态。六配位  $Co^{2+}$  的稳定能随碱含量的增加而下降, 而当  $Na_2O$  含量超过 20% 左右时, 即转变为四面体配位。在硅酸盐玻璃中,  $Co^{2+}$  或  $Ni^{2+}$  都处于四配位状态。 (下转第 17 页)

# 水对玻璃的侵蝕反應

M. A. Rana, R. W. Douglas

摩萊 (Morey, G. W.)<sup>[1]</sup> 在關於玻璃的化學穩定性的論著中，會明確地將玻璃-水系統的平衡問題同水對玻璃的侵蝕速率問題加以區別。他強調指出：有關這方面的測定，絕不能簡單地理解為測定玻璃在水中的溶解度；相反的，水對玻璃的侵蝕過程是非常複雜的，其中包括水向玻璃滲透，然後引起複雜硅酸鹽的分解，最後生成與玻璃原組成完全不同的許多新物質。不過，具有實用意義的是水對玻璃侵蝕的速率問題，而不是玻璃-水系統最後達到平衡的結果問題。為此，人們對前者提出了許多不同的測定方法。但是，要了解控制侵蝕速率的機理，就必須嚴格選擇精確的試驗方法與條件。本文將在這方面作些介紹。

水對典型鈉鈣矽玻璃的侵蝕速率與時間的平方根成比例<sup>[2]</sup>，因而它傾向於說明是一個擴散作用的控制過程<sup>[3]</sup>。將這一類玻璃對水反應的活化能同鈉離子在玻璃內擴散的活化能加以比較，所得到的數值几乎是一致的。道格拉斯與艾沙德 (Douglas & Isard)<sup>[4]</sup> 曾根據鈉離子在玻璃中的擴散及與此有密切關係的玻璃電導率，分別導出用水移取鈉離子的數量的理論方程式。試驗結果與理論的差數小於 2。可是，對鈉離子被鉀離子取代的玻璃來講，根據各種文獻所提供的數據<sup>[5]</sup>，均說明上述理論尚無法解釋水對鉀鈣矽玻璃的反應。

許多事實說明，僅僅根據鈉離子的擴散來解釋水對玻璃的侵蝕速率是不妥當的。從已發表的論文中<sup>[6]</sup> 也可以看出，在鈉離子從玻璃中被水移去的同時，有一部分二氧化矽也會被移去。因此，欲探求侵蝕的機理，必須對玻璃的水浸出物進行全面的分析，同時，也必須對溫度及侵蝕液的純度嚴格加以控制。最單純的侵蝕液就是加熱到試驗溫度後由蒸汽凝結的水。根據這一點，比提 (Beattie)<sup>[7]</sup> 設計的回流浸出器是最符合要求的。本文所用的試驗設備就是根據比提的設計而加以改進的。它能夠在不同試驗溫度下和連續浸出時間中，抽取小量浸出液對浸出物進行全面分析。

## 試驗方法

### 水浸出器

水浸出器的單元結構見圖 1，其中的零件除金屬外都是用派來克司玻璃製成的。磨砂接口處用聚四氟乙烯 (P. T. F. E.) 薄膜衬里。這種浸出器的工作情況基本上與索氏 (Soxhlet) 回流浸出器相同。水

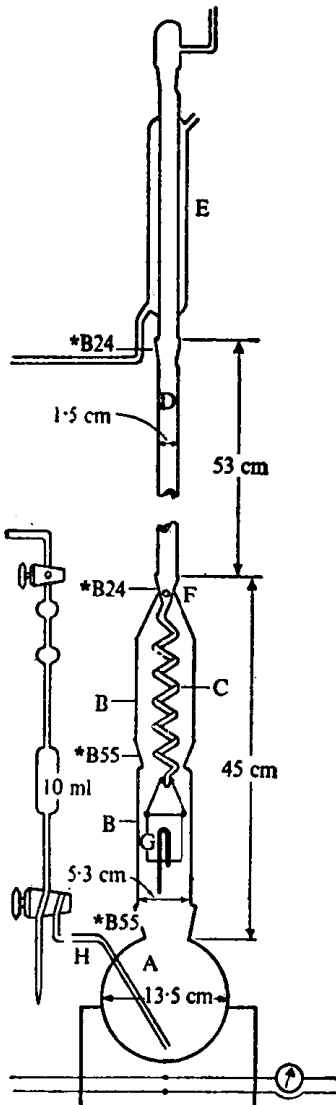


圖 1 水浸出器單元結構圖

在 A 处(广口铜烧瓶，里面镀银)被煮沸，其蒸汽上升至玻璃管 B，从 F 孔进入长玻璃管 D，在水冷凝器 E 处被冷凝后回流至螺旋管 C 而被反向上升的蒸汽加热达到接近 A 处水的沸点温度，然后滴入 G(可悬挂银制的虹吸容器)。G 中可安放玻璃试样与回流的水接触，当水达到一定高度时，便能自动地被虹吸管排入 A。作用连续反复进行。G 与 A 的温度差可以维持在  $0.5^{\circ}\text{C}$  以内。

水浸出器的成套装置见图 2。浸出器 A 的试验温度可通过改变水蒸汽压来控制。实际温度可由测得的蒸汽压换算求出。蒸汽压的控制设备是自动的(见图 2 的右方)。抽气机(P)的工作性能是由两个漏气装置所控制，一个是可调节的永久漏气机构(PL)，另一个是自动漏气装置(L)，这个装置上面装有回返活塞(S)及电磁铁(m)。自动漏气装置的电器部分与气压计(M)上面的接触点(C')及可升降的水银储器(C)接通。升降 C 至一定高度可以预先拟定仪器内部的蒸汽压(即对应的浸出温度)。它等于大气压(mm Hg)减去 C 处水银液面至 C' 的高度(mm Hg)。当仪器内部的蒸汽压小于预定的数值时，M 处的水银便上升与 C' 接触，使之与 L 的电路接通，回返活塞(S)被电磁铁(m)吸引而开启，因而发生漏气。结果，仪器内部蒸汽压上升，C' 处水银下降，电路中断，活塞(S)闭合。自动回返活塞的灵敏度，可通过调整永久漏气机构(PL)使之在  $\pm 5\text{mm Hg}$  压力范围内自动开闭。这样所引起的温度差，在  $60^{\circ}\text{C}$  时约为  $\pm 0.6^{\circ}\text{C}$ ，在  $100^{\circ}\text{C}$  时约为  $\pm 0.2^{\circ}\text{C}$ 。图中，(V)是缓冲瓶，(T)是  $\text{CO}_2$  吸收器，后者在作浸出液

电导测定时使用，一般可省去。

浸出器 A 的加热部分(见图 2 下方)由电炉(K)、调压变压器(R)及串联的安培表组成。通过调整 R 改变加热速度就可以使 A 中的回流速度达到恒值。

浸出器的取样部分见图 2 的左方。将水流抽气器(WP)开启，并调节两个漏气活塞(L')，使气压表(M')的气压约比浸出系统的蒸汽压低  $30\sim 40\text{ mm Hg}$ 。这样，当三通活塞与 A 接通时，浸出液便能按所需的量被自动地吸入吸管(X)。

### 浸出试验

取三份 520 毫升不含钠钾的蒸馏水(用金属器皿蒸馏——译者注)，分别倒入三个烧瓶(A)中(其中一个用作空白测定)。接通电源，使电热炉(K)、抽气机(P)及自动漏气装置(L)开始工作，并于冷凝器(E)中通入冷水。浸出系统内部预定的蒸汽压及取样部分的气压，均按上节所述的调节方法事前准备好。调节永久漏气机构(PL)，使自动漏气装置(L)达到性能的要求。但整个系统的其他部分不得漏气。

调节 R，使浸出器 A 的回流速度达到恒值。当整个系统的工作情况都达到正常后，将烧瓶 A 上部的装置 B 拉开，迅速将玻璃试样(放入前，颗粒状玻璃试样装于 80 目银丝袋中，棒状玻璃试样置于银丝网上面)移入银制的虹吸容器(G)中，并再装好。待回流恢复后计算浸出时间。

在每个浸出试验过程中，可从各个烧瓶(A)中

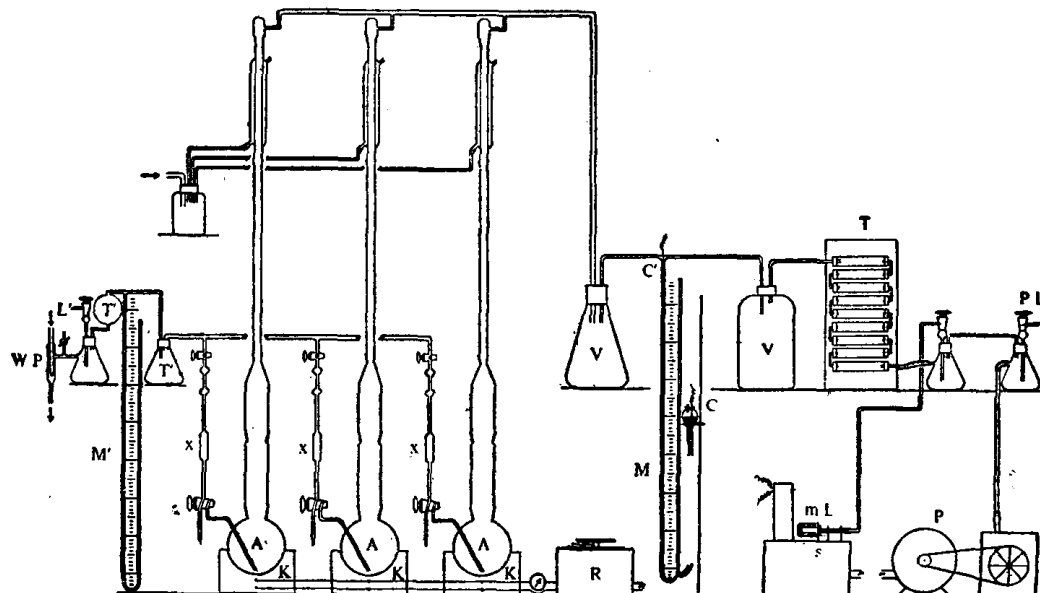


图 2 水浸出器装置

抽取 10 毫升浸出液 6~10 次，进行碱金属及硅的分析。计算浸出量时应将以前抽取液样的累积容积除外。浸出完毕后，浸出液的总容积（减去抽取液样）不应有显著的减少。液样用聚乙烯瓶装贮，吸管及浸出器子使用后必须用水充分洗涤。

### 玻璃試样

被研究的玻璃試样共有两个系列(分子 %)：

$S_1$	85	$\text{SiO}_2$	15	$\text{Na}_2\text{O}$	0	$\text{CaO}$
$S_2$	80	$\text{SiO}_2$	15	$\text{Na}_2\text{O}$	5	$\text{CaO}$
$S_3$	75	$\text{SiO}_2$	15	$\text{Na}_2\text{O}$	10	$\text{CaO}$
$S_4$	70	$\text{SiO}_2$	15	$\text{Na}_2\text{O}$	15	$\text{CaO}$
$P_1$	85	$\text{SiO}_2$	15	$\text{K}_2\text{O}$	0	$\text{CaO}$
$P_2$	80	$\text{SiO}_2$	15	$\text{K}_2\text{O}$	5	$\text{CaO}$
$P_3$	75	$\text{SiO}_2$	15	$\text{K}_2\text{O}$	10	$\text{CaO}$
$P_4$	70	$\text{SiO}_2$	15	$\text{K}_2\text{O}$	15	$\text{CaO}$

熔制玻璃的原料都是純度很高的，其中石英砂曾經在恒沸  $\text{HCl}$ (20%  $\text{HCl}$ ——譯者注)中煮沸 8 小时并用蒸餾水洗涤后在  $120^\circ\text{C}$  干燥的。每次熔制所需的配料約 700 克。玻璃用鉑-鎢(1%)坩堝在馬弗式煤气炉中进行熔制。炉温为  $1450 \pm 20^\circ\text{C}$ 。熔化时间共 13 小时(中間适当进行攪拌)。圓片玻璃在鋼模中澆鑄，玻璃棒則用白金圈浸入玻璃液中垂直向上拉制而成。

測試用的玻璃棒的直徑約为 0.3 厘米，長約为 3 厘米。顆粒玻璃試样的制备，是将玻璃放在瓷鉢中敲碎后，取能通过 25 号(0.625 厘米)而留于 36 号(0.421 厘米)标准篩的玻璃顆粒而得。将所得玻璃顆粒置于  $120^\circ\text{C}$  干燥后裝入称瓶，放入  $\text{CaCl}_2$  干燥器中。称取測定試样(1~4 克，視玻璃成分及浸出溫度而定)前，尚須将玻璃顆粒用四氯化碳洗涤，以去除粉末，并在  $120^\circ\text{C}$  电烘箱中干燥 2 小时。

### 浸出液的化学分析

#### 碱金属的测定

$\text{Na}_2\text{O}$  与  $\text{K}_2\text{O}$  用 EEL 火焰光度計(A型)进行測定。标准曲綫是用高純度碱金属的碳酸盐与氯化物配成的已知濃度的溶液求得的。图 3 及图 4 分別表示含一定  $\text{Na}_2\text{O}$  与  $\text{K}_2\text{O}$  濃度(毫克/升，原文用 p. m.——譯者注)的溶液与火焰光度計讀数之間的綫性关系。

曾經研究过  $\text{CaO}$  对測定  $\text{Na}_2\text{O}$  与  $\text{K}_2\text{O}$  的干扰。当加入的  $\text{CaO}$  的濃度与碱金属的氧化物相等时，它对  $\text{K}_2\text{O}$  的測定影响极微，但却会使  $\text{Na}_2\text{O}$  的測定显

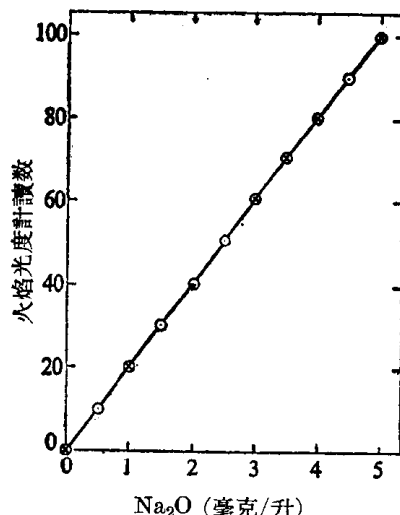


图 3  $\text{Na}_2\text{O}$  的标准曲綫

○  $\text{Na}_2\text{O}$  按  $\text{NaCl}$  求出  
×  $\text{Na}_2\text{O}$  按  $\text{Na}_2\text{CO}_3$  求出

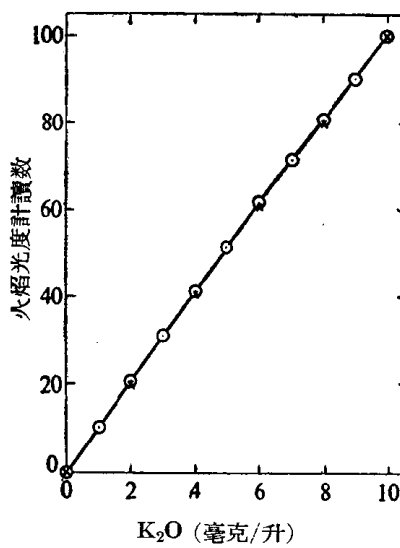


图 4  $\text{K}_2\text{O}$  的标准曲綫

○  $\text{K}_2\text{O}$  按  $\text{KCl}$  求出  
×  $\text{K}_2\text{O}$  按  $\text{K}_2\text{CO}_3$  求出

出偏高的結果。不过， $\text{CaO}$  在浸出液中永远不会超过  $\text{Na}_2\text{O}$  的含量，因此，它的干扰作用也不会超过 +5%。

#### $\text{SiO}_2$ 的測定

測定原理的依据是可溶性硅酸能与鉬酸銨形成黃色硅鉬酸絡合物。后者被  $\text{Na}_2\text{SO}_3$  还原为鉬藍溶液，其色澤深度可用分光光度計在 700 毫微米波长处(吸收峰位置見图 5)測出其透光率，然后同用已知  $\text{SiO}_2$  含量的溶液求出的标准曲綫进行比較。

#### 試剂

1. 标准硅溶液(1 毫升 ≈ 0.08 毫克  $\text{SiO}_2$ )：准

准确称取 0.0800 克粉状纯石英，放入铂坩埚中并与 1.0 克  $\text{Na}_2\text{CO}_3$  调和。在  $950^{\circ}\text{C}$  加热几个小时，至石英完全熔化为止。冷却后用热水溶解并配成 1 升溶液。

2.  $\text{NaOH}(1-N)$ 。
3. 醋酸(10%)。
4. 铂酸铵(10%)。
5.  $\text{Na}_2\text{SO}_4$ (饱和溶液)。

以上溶液都是用新鲜蒸馏水配制的，装于聚乙烯瓶中。

**测定方法** 取 2 毫升浸出液试样置于铂蒸发皿中，加入 3 毫升水及 3 毫升  $\text{NaOH}(1-N)$ ，并在水浴上加热 1 分钟。从水浴移开后，加入 10 毫升水、4.5 毫升醋酸(10%)及 5 毫升铂酸铵(10%)。盖上表面皿再在水浴上继续加热，经 10 分钟后添加 2 毫升  $\text{Na}_2\text{SO}_4$ (饱和)。除去表面皿，继续再加热 5 分钟，然后放置于流动冷水中冷却，并将溶液体积调整为 25 毫升。大约经过 20 分钟后，用分光光度计测定所得的蓝色溶液在 700 毫微米波长处的透光率( $T\%$ )。将所得结果与硅的标准曲线进行比较(比色杯厚度为 2 厘米，用水作空白试验。若试样硅含量太高或太低，可增减杯的厚度)，并计算出浸出液中的  $\text{SiO}_2$  含量。

**硅的标准曲线** 采用下列体积的硅标准溶液，分别代替上述测定方法中的浸出液试样，并用同法求出它们的透光率( $T\%$ )：0, 0.5, 1.0, 1.5, 2.0, 2.5(毫升)。按调整为 25 毫升比色溶液的体积计

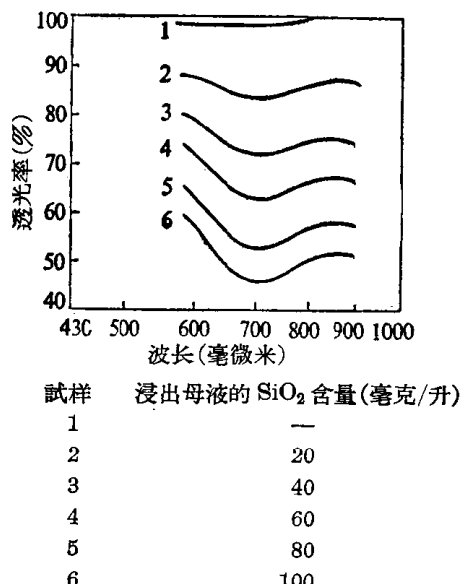


图 5 含  $\text{SiO}_2$  钼蓝溶液的光谱透光曲线

算，它们的含硅浓度分别为：0, 1.6, 3.2, 4.8, 6.4, 8.0 ( $\text{SiO}_2$  毫克/升)。若测定方法中所用的试样体积为 2 毫升，则它们分别相当于浸出母液中含硅浓度：0, 20, 40, 60, 80, 100 ( $\text{SiO}_2$  毫克/升)。如此绘出的硅标准曲线\* 见图 5。

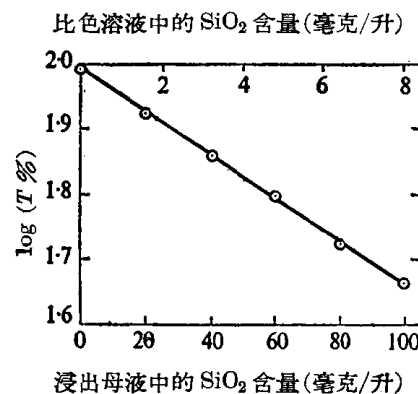


图 6  $\text{SiO}_2$  的标准曲线

### CaO 的测定

在低温及短时间浸出试验过程中，钙的浸出量并不显著，因而引起测定的困难。为此，本试验仅对玻璃颗粒在  $84^{\circ}\text{C}$  下经长期水回流侵蚀后，进行了浸出液中钙的测定。测定时，将浸出液全部从烧瓶中移出，代入同体积同温度的水，继续进行试验。分析方法采用 EDTA 絮合滴定，紫脲酸铵作指示剂，溶液的  $\text{pH} > 10$ 。

**试剂** 1. 标准  $\text{CaCl}_2$  溶液(1 毫升  $\equiv 0.28$  毫克  $\text{CaO}$ )：准确称取 0.5000 克在  $110^{\circ}\text{C}$  干燥的纯  $\text{CaCO}_3$ ，移入烧杯后加入 50 毫升水及 10 毫升  $\text{HCl}$  (1:3)。待反应完全后配成 1 升溶液。

2. 紫脲酸铵指示剂：0.02 克，与 10 克  $\text{NaCl}$  研和。

3.  $\text{NaOH}(5-N)$

4. EDTA 溶液：0.75 克，用水配成 1 升溶液。

**校正** 准确量取 25 毫升标准  $\text{CaCl}_2$  溶液，加入 1 毫升  $\text{NaOH}(5-N)$  及 0.1 克紫脲酸胺指示剂。用新配制的 EDTA 溶液滴定至发生蓝色为止。这个颜色应与不含  $\text{CaCl}_2$  而含有其他试剂的空白溶液于加入 1 滴 EDTA 后的颜色一致。

\* 作者用  $\log T(\%)$  绘制的标准曲线与一般用消光度( $\alpha$ )绘制的曲线的区别在于： $\alpha = 2 - \log T(\%)$ ，因此所得曲线的方向不同，但原理并没有差别。从测得的  $\log T(\%)$  可在曲线上求出对应的浸出母液的含硅浓度，后者乘以玻璃试样的总升数(约 0.5)并除以玻璃试样的克数，即得每克玻璃颗粒的浸出量( $\text{SiO}_2$  毫克/每克玻璃)——译者注

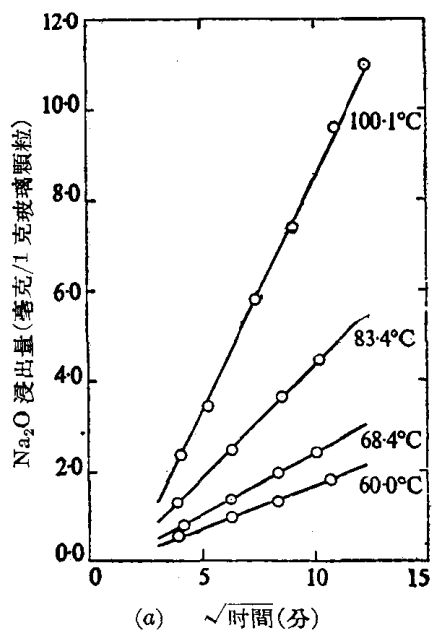
1 毫升 EDTA  $\equiv (25 \times 0.28) \div$  滴定消耗 EDTA  
毫升数(毫克 CaO)。

测定方法 取 100 毫升浸出液，加入 2 毫升 NaOH (5-N) 及 0.1 克紫脲酸胺指示剂。用校正过的 EDTA 溶液滴定至上述蓝色为止。

## 試驗結果

### 浸出量与時間及溫度的关系

从八种玻璃的浸出試驗結果中可以看出，水对玻璃的侵蝕反应可以分为两个阶段。若侵蝕的时间很短，则被水移去的玻璃組分的量 ( $Q$ ) 同时间的平方根 ( $\sqrt{t}$ ) 成正比(第一机理过程)；若侵蝕的时间很长，则移去的量 ( $Q$ ) 同时间 ( $t$ ) 成正比(第二机理过



(a)  $\sqrt{\text{時間}}(\text{分})$

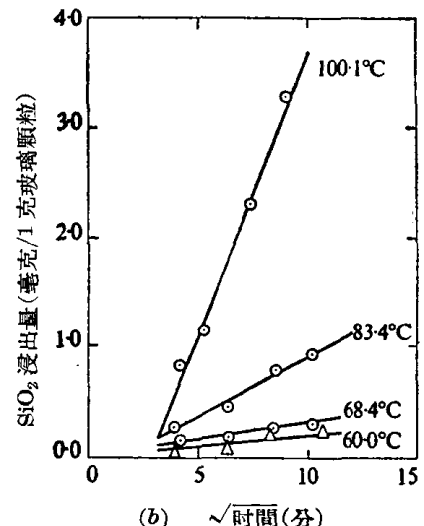
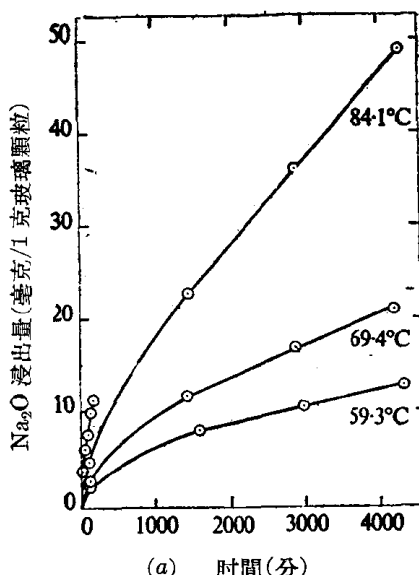
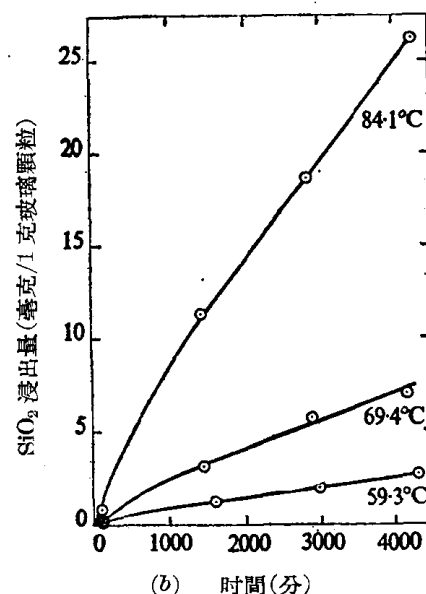


图 7a, b S<sub>1</sub> 玻璃顆粒的短時間浸出結果



(a)  $\text{時間}(\text{分})$



(b)  $\text{時間}(\text{分})$

程)。图 7~12 选取稳定性較差 ( $S_1$ ) 及最好 ( $S_3$ ) 的两种玻璃的浸出結果，作为上述結論的例証。

从第一机理过程轉变为第二机理过程所需的时间随玻璃成分的不同而异，并随浸出温度的提高而縮短。这种時間間隔，对稳定性最差的  $P_1$  玻璃，在 50°C 时只有 9 分钟；而稳定性最好的  $S_3$  玻璃，在 84°C 时为 1600 分钟，在 60°C 时則超过 4000 分钟。

从图 7 和图 10 可以看出， $S_1$  及  $S_3$  玻璃中的 Na<sub>2</sub>O 与 SiO<sub>2</sub> 在 60~100°C 的最初 150 分钟內被水浸出的量都与  $\sqrt{t}$  成正比。这种平行現象在第二机理过程 ( $t$  成正比) 也同样突出 (图 8~9, 11~12)。

对 CaO 的浸出測定只在第二机理过程中进行。

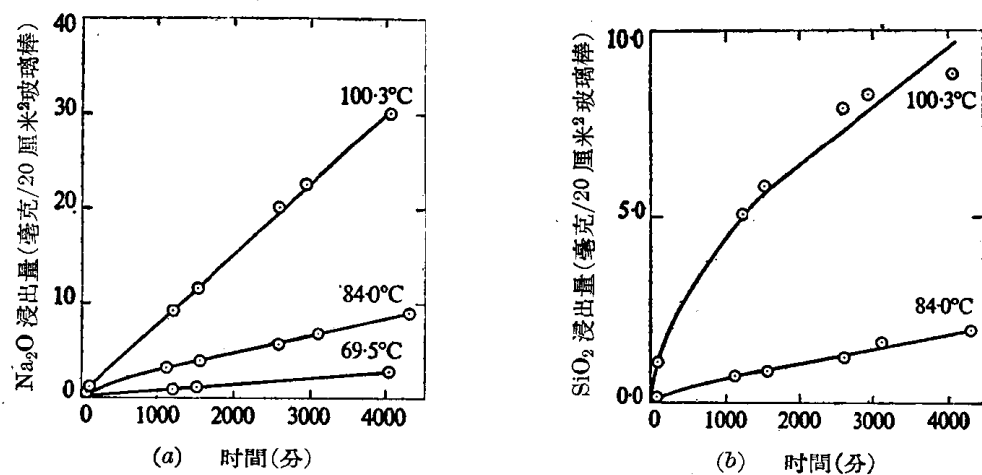


图 9a, b  $S_1$  玻璃棒的长时间浸出結果

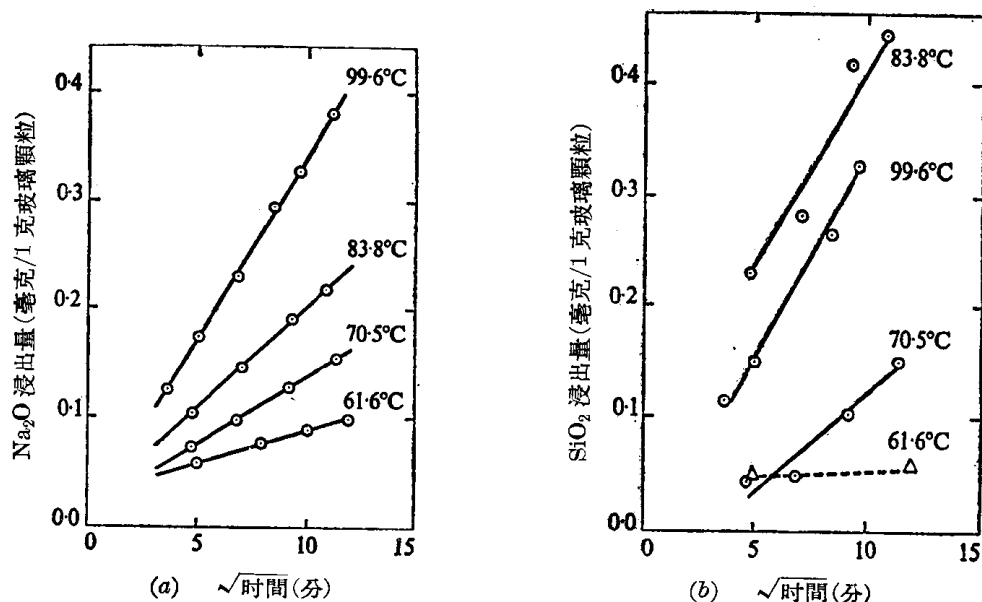


图 10a, b  $S_3$  玻璃顆粒的短時間浸出結果

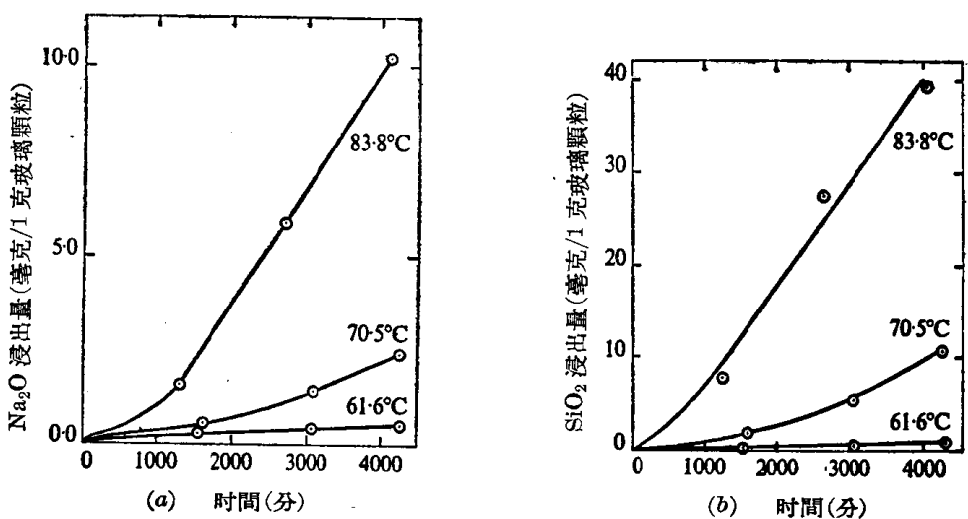


图 11a, b  $S_3$  玻璃顆粒的长时间浸出結果

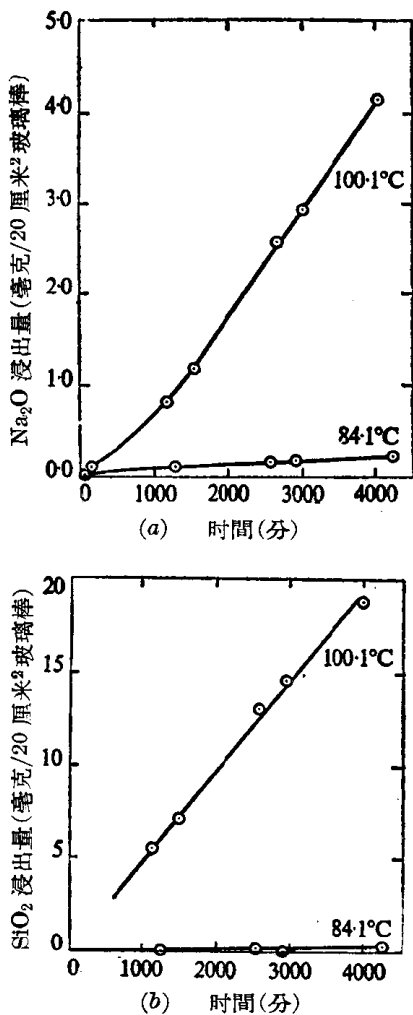


图 12a, b S<sub>3</sub> 玻璃棒的长时间浸出結果

它的浸出量( $Q$ )，同 Na<sub>2</sub>O 及 SiO<sub>2</sub> 一样，也与时间( $t$ )成正比。

初步結論認為在水侵蝕玻璃的两个过程中，Na<sub>2</sub>O 与 SiO<sub>2</sub> 都被浸釋出来，它們的浸出量( $Q$ )同时間( $t$ )的关系都属同一类型，因此，第一机理过程可用下列方程式表示：

$$Q = a + K \sqrt{t}$$

$$\frac{dQ}{dt} = K$$

第二机理过程可用下列方程式表示：

$$Q = b + ct$$

$$\frac{dQ}{dt} = c$$

式中， $K$  与  $c$  分別代表两个过程的反应速率(曲綫斜率)。

### 颗粒状与棒状玻璃在浸出速率上的差別

本試驗所用的玻璃顆粒是經過严格选取的，因

此，它的每 1 克的表面积誤差在±5%范圍內应认为是恒定的。可是，比較 1 克玻璃顆粒与表面积为 20 厘米<sup>2</sup>玻璃棒的浸出率( $Q/t$ )，却发现由此得到 1 克玻璃顆粒的顯然面積随玻璃成分的不同而不同。表 1 說明在 84°C 进行第二机理過程的結果及其計算。

表 1 玻璃顆粒的顯然表面积

玻 璃	碱金属氧化物的浸出率( $Q/t$ )		1 克玻璃顆粒的顯然表面积(厘米 <sup>2</sup> /克 <sup>-1</sup> )
	1 克玻璃顆粒	20 厘米 <sup>2</sup> 玻璃棒	
S <sub>1</sub>	0.00910	0.00230	79
S <sub>2</sub>	0.00121	0.000145	170
S <sub>3</sub>	0.00310	0.000116	267
S <sub>4</sub>	0.00562	0.000900	142
P <sub>1</sub>	0.410	0.155	52
P <sub>2</sub>	0.0141	0.0045	62
P <sub>3</sub>	0.00565	0.0029	38
P <sub>4</sub>	0.0119	0.0047	50

对化学稳定性較差的鉀玻璃( $P$ )來說，1 克玻璃顆粒的顯然表面积(38~62 厘米<sup>2</sup>)与学者們<sup>[5]</sup>用其他方法計算所得的面积沒有大的偏差。有趣的是，鈉玻璃( $S$ )的这种偏差是隨玻璃棒中 Na<sub>2</sub>O 的浸出速率的提高而減小。这說明对化学稳定性較好的玻璃，侵蝕作用很不容易从表面深入内部，同时，玻璃棒的表面由于 Na<sub>2</sub>O 在成型過程的揮发，其表面的鈉离子濃度應比玻璃顆粒低。

### 玻璃成分与浸出速率

第一机理过程 图 13~14 汇总了四种鈉玻璃

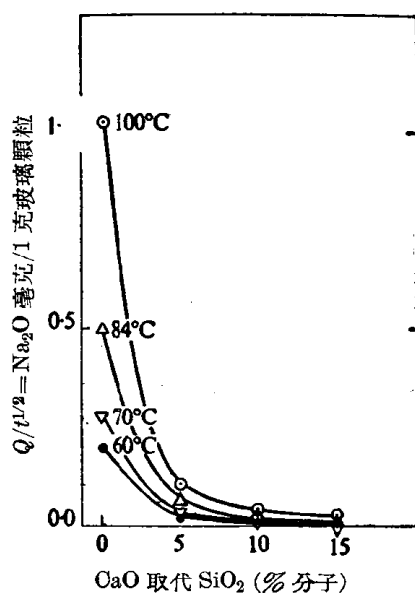


图 13 鈉玻璃的成分与化学稳定性的关系(第一机理过程)

在第一过程中的浸出速率。除却  $S_4$  玻璃在  $100^{\circ}\text{C}$  时对  $\text{SiO}_2$  的浸出量似有疑问外，所有玻璃都随  $\text{CaO}$  取代  $\text{SiO}_2$  的量增加，而对水的活性却随之减少。

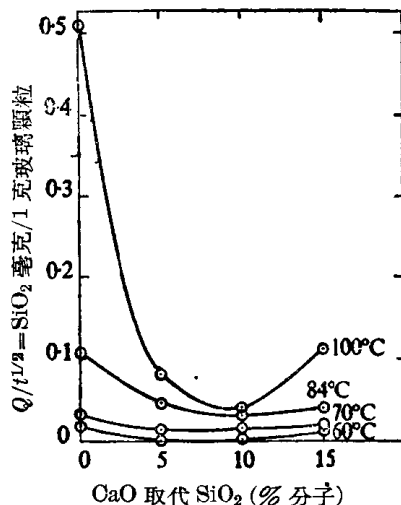


图 14 钠玻璃的成分与化学稳定性  
的关系(第一机理过程)

**第二机理过程** 图 15~16 汇总了四种钠玻璃及四种钾玻璃在第二过程中的浸出速率( $84^{\circ}\text{C}$ )。可以看出，玻璃的成分对第一及第二机理过程的浸出速率的影响极不相同，因此，玻璃的化学稳定性往往随试验的时间及温度而有差别。必须指出，当  $\text{CaO}$  含量为  $5\sim 10\%$  (分子) 时，玻璃在第二过程中都会出现浸出速率的最低点，因此，在测定稳定性较高的工业玻璃时，必须提高试验温度或延长浸出时间，不然就很难得到明显的结果。

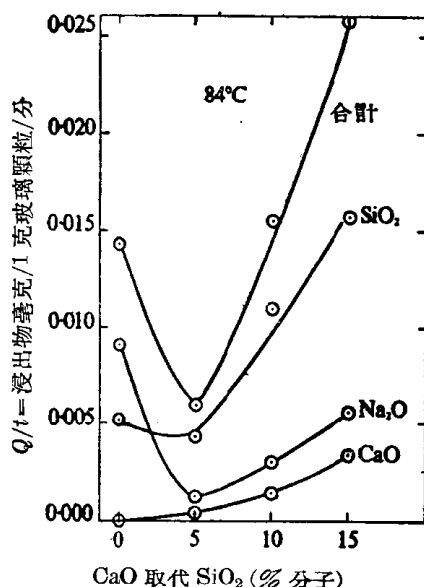


图 15 钠玻璃的成分与化学稳定性  
的关系(第二机理过程)

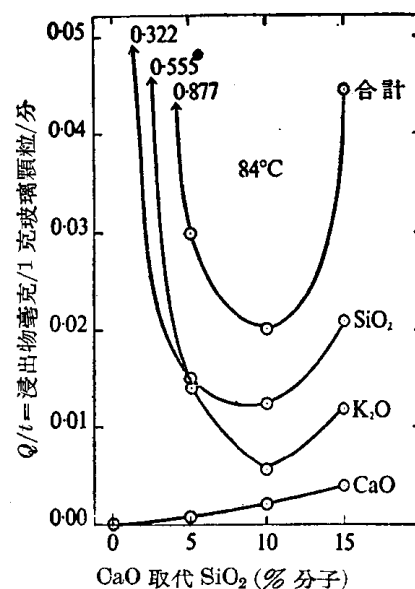


图 16 钾玻璃的成分与化学稳定性  
的关系(第二机理过程)

#### 浸出物的成分比率

**第一机理过程** 在这个过程中，浸出物中  $\text{SiO}_2/\text{Na}_2\text{O}$  的比值随温度及玻璃成分中的  $\text{CaO}$  含量提高而有所提高(表 2)。在低温时，这个比值大大小于玻璃的原比值。这说明  $\text{Na}_2\text{O}$  的浸出仍然是主要反应。

表 2 浸出物中  $\text{SiO}_2/\text{Na}_2\text{O}$  的比值(玻璃颗粒)  
(第一机理过程)

玻璃	浸出物中 $\text{SiO}_2/\text{Na}_2\text{O}$ 的分子比			玻璃中 $\text{SiO}_2/\text{Na}_2\text{O}$ 的分子比
	$60^{\circ}\text{C}$	$70^{\circ}\text{C}$	$84^{\circ}\text{C}$	
$S_1$	0.07	0.15	0.20	5.7
$S_2$	0.25	0.25	0.50	5.3
$S_3$	0.75	0.90	2.20	5.0
$S_4$	2.70	2.30	4.50	4.7

**第二机理过程** 在这个过程中，浸出物中  $\text{SiO}_2/\text{Na}_2\text{O}$  或  $\text{SiO}_2/\text{K}_2\text{O}$  的比值也是随玻璃成分中的  $\text{CaO}$  含量提高而提高，但是温度的影响却很小(浸出时间  $2000\sim 4000$  分钟)。当  $\text{CaO}$  含量达  $10\sim 15\%$  (分子) 时，这个比值几乎与玻璃成分中原有的比值一致，而不随浸出温度的改变而改变(表 3~4)。

在第二机理过程中，仅对  $84^{\circ}\text{C}$  的浸出试验进行  $\text{CaO}$  的测定。在试验误差可能范围内，表 5 所提供的浸出物中， $\text{SiO}_2/\text{CaO}$  的比值基本上与所有玻

玻璃成分中原有的比值是一致的。这似乎說明, CaO 的浸出是与 SiO<sub>2</sub> 的网络结构遭到破坏同时发生的<sup>[8]</sup>。

表 3 浸出物中 SiO<sub>2</sub>/Na<sub>2</sub>O 的比值  
(第二机理过程)

玻璃	温度(°C)	浸出物中 SiO <sub>2</sub> /Na <sub>2</sub> O 的分子比		玻璃中 SiO <sub>2</sub> /Na <sub>2</sub> O 的分子比
		玻璃棒	玻璃颗粒	
<i>S</i> <sub>1</sub>	60°	—	0.14	5.7
	70°	—	0.33	
	84°	0.23	0.54	
	100°	0.40	—	
<i>S</i> <sub>2</sub>	60°	—	0.6	5.3
	70°	—	1.3	
	84°	1.0	2.8	
	100°	1.4	—	
<i>S</i> <sub>3</sub>	60°	—	—	5.0
	70°	—	4.0	
	84°	—	4.5	
	100°	5.1	—	
<i>S</i> <sub>4</sub>	60°	—	4.7	4.7
	70°	—	4.0	
	84°	4.8	3.8	
	100°	4.8	—	

表 4 浸出物中 SiO<sub>2</sub>/K<sub>2</sub>O 的比值  
(第二机理过程)

玻璃	温度(°C)	浸出物中 SiO <sub>2</sub> /K <sub>2</sub> O 的分子比		玻璃中 SiO <sub>2</sub> /K <sub>2</sub> O 的分子比
		玻璃棒	玻璃颗粒	
<i>P</i> <sub>1</sub>	60°	—	0.30	5.7
	70°	0.25	—	
	84°	0.64	0.66	
	100°	1.20	—	
<i>P</i> <sub>2</sub>	60°	—	0.90	5.3
	70°	0.8	—	
	84°	1.4	1.1	
	100°	2.4	—	
<i>P</i> <sub>3</sub>	60°	—	4.0	5.0
	70°	4.5	4.0	
	84°	4.5	4.0	
	100°	4.5	—	
<i>P</i> <sub>4</sub>	60°	—	4.0	4.7
	70°	—	4.0	
	84°	4.2	4.0	
	100°	4.2	—	

表 5 浸出物中 SiO<sub>2</sub>/CaO 的比值(84°C)  
(第二机理过程)

玻 璃	SiO <sub>2</sub> /CaO 的分子比	
	浸 出 物	玻 璃 中
<i>S</i> <sub>2</sub>	11.4	16
<i>S</i> <sub>3</sub>	6.7	7.5
<i>S</i> <sub>4</sub>	4.2	4.7
<i>P</i> <sub>2</sub>	19.4	16
<i>P</i> <sub>3</sub>	7.0	7.5
<i>P</i> <sub>4</sub>	5.5	4.7

### 浸出后的玻璃棒外观

浸出后的玻璃棒外观符合于表 3~4 所列的结果。例如, 在 84°C 与 100°C 的浸出物中, *S*<sub>1</sub> 玻璃中的 SiO<sub>2</sub>/Na<sub>2</sub>O 比值分别为 0.23 及 0.40, 而与玻璃中的比值(5.7)相差很大, 因此, 浸出后, 它的表面出現水化二氧化硅层。这种水化层在干燥后会发生脱片。*P*<sub>2</sub> 玻璃与 *S*<sub>1</sub> 玻璃相似。*S*<sub>2</sub> 玻璃也应与 *S*<sub>1</sub> 相似。玻璃含 CaO 量达 10~15% (*P*<sub>3</sub>, *P*<sub>4</sub>, *S*<sub>3</sub>, *S*<sub>4</sub>) 时, 由于上述比值在浸出物及玻璃中几乎是一致的, 所以它们的玻璃棒于浸出后仍保持原有的光澤与透明性。

*P*<sub>1</sub> 玻璃棒經高温及长时间浸出后, 所有 K<sub>2</sub>O 都被抽去, 剩下一个大小与原棒相同而具有脆性的半透明石英骨架。干燥后, 这个石英骨架便变为不透明的。化学分析表明, 它是极純的 SiO<sub>2</sub>。經偏光、紅外透光、X 光及电子显微研究, 都倾向于說明它的結構近似于硅胶而不同于熔融石英或結晶石英。热处理的結果表明, 它与高硅氧玻璃也不同。种种現象都說明, 它是一种玻璃-水系統达到平衡后重复沉积的二氧化硅骨架。这与摩萊<sup>[1]</sup>的見解是一致的\*。

\* 王与托利 (Wang & Tooley)<sup>[9]</sup> 分別用玻璃浸出液、人工仿制玻璃浸出液及純水对 Na<sub>2</sub>O 14%、CaO 12%、SiO<sub>2</sub> 74% 玻璃进行过侵蝕研究。他們发现, 前两种溶液所移取的 Na<sub>2</sub>O 与 SiO<sub>2</sub> 比純水移取的多。他們还发现, 用偏硅酸鈉、偏硅酸及偏硅酸鈣配成的人工仿制浸出液与同成分的玻璃浸出液对玻璃有相同的浸出速率。因此, 水对玻璃的浸出物应为: Na<sub>2</sub>SiO<sub>3</sub>、H<sub>2</sub>SiO<sub>3</sub> 及 CaSiO<sub>3</sub>。Na<sub>2</sub>SiO<sub>3</sub> 对玻璃的侵蝕作用最强, H<sub>2</sub>SiO<sub>3</sub> 最差。若依照摩萊的見解, 这些浸出物于玻璃-水系統 (在一定溫度下) 达到平衡后, 一部分保留在水溶液中, 大部分以新相固态物质从溶液中析出, 形成所謂“脱片”。“脱片”是水对玻璃浸出反应的产物, 当然与玻璃原組成是不同的。根据王与托利的結論, 有理由认为, 水对鈉鈣硅玻璃侵蝕的“脱片”产物, 其成分应以 SiO<sub>2</sub>·XH<sub>2</sub>O 及 CaSiO<sub>3</sub>·XH<sub>2</sub>O 为主, 而 Na<sub>2</sub>SiO<sub>3</sub> 則大部分保留在溶液中。必須指出, 这些浸出物与“脱片”物都是可溶于碱。因此, 用較濃的碱水侵蝕玻璃就不会产生“脱片”現象。随着浸出液的 pH 减低, “脱片”还要严重。这往往与空气中的 CO<sub>2</sub> 溶入水中有关。起緩冲作用的弱酸性或弱碱性酸碱或盐类的溶液(pH 为 5~9)往往會加速玻璃的“脱片”作用, 其原因之一就在于此——譚者注